

щегося в поле аксиально-симметричного ядра. Поскольку волновая функция будет зависеть от деформации ядра  $\beta_0$ , то и величина  $g_\Omega$  будет функцией  $\beta_0$ . Возможно, что именно этот эффект ответственен за большую разницу в магнитных моментах ядер  $\text{Eu}^{151}$  и  $\text{Eu}^{153}$ . Магнитный момент  $\text{Eu}^{151}$  в ядерных магнетонах равен 3,6, а магнитный момент  $\text{Eu}^{153}$  равен 1,6, при этом величина  $\beta_0$  у ядра  $\text{Eu}^{153}$  примерно в 2 раза превышает  $\beta_0$  для ядра  $\text{Eu}^{151}$ .

В последнее время появились работы [35, 69], в которых делается попытка экспериментального исследования каждого из гиromагнитных отношений  $g_\Omega$  и  $g_R$ , входящих в формулу (22,6). Используя экспериментальные значения магнитных моментов в основном состоянии и значения вероятностей дипольных магнитных переходов между ротационными уровнями, зависящие от  $(g_\Omega - g_R)^2$  (см. § 77), можно вычислить обе величины  $g_\Omega$  и  $g_R$ , если сделать предположение о знаке  $g_\Omega - g_R$ . Для некоторых переходов знак  $g_\Omega - g_R$  можно определить из угловой корреляции  $\gamma$ -квантов двух последующих переходов. В таблице 12 приведены полученные в работах [35, 69] результаты.

Если оценки величин  $g_\Omega$  и  $g_R$ , приведенные в таблице 12, подтвердятся дальнейшими исследованиями, то они будут указывать на грубость приближения, при котором принимается, что  $g_R = Z/A \approx 0,40$ .

В последнем столбце таблицы 12 приведены значения  $g_j$  согласно модели оболочек. Эти величины, относящиеся к сферической яме, значительно отличаются от измеренных  $g_\Omega$ , относящихся к движению частицы в аксиальном поле.

Таблица 12. Значения гиromагнитных множителей  $g_\Omega$  и  $g_R$

Ядро	Спин	$\mu$	$(g_\Omega - g_R)^2$	$g_\Omega$	$g_R$	$g_j$
$\text{Ta}^{181}$	$\frac{7}{2}$	2,1	0,202	0,70	0,25	$0,49 (g_{7/2})$
$\text{Au}^{197}$	$\frac{3}{2}$	0,19	0,149	- 0,061	0,32	$0,12 (d_{3/2})$
$\text{Re}^{185}$	$\frac{5}{2}$	3,17	1,17	1,53	0,53	$1,99 (d_{5/2})$
$\text{Re}^{187}$	$\frac{5}{2}$	3,20	1,32	1,63	0,52	$1,99 (d_{5/2})$
$\text{Ir}^{193}$	$\frac{3}{2}$	0,17	$4 \cdot 10^{-4}$	0,12	0,10	$0,12 (d_{3/2})$

### § 23. Малые возбужденные состояния атомных ядер

Любое возбужденное состояние ядра является квазистационарным, так как возможен спонтанный переход из этого состояния в другие состояния ядра с меньшей энергией с одновременным испусканием

$\gamma$ -лучей, нуклонов,  $\alpha$ -частиц и т. д. Вследствие этого все энергетические состояния ядра, кроме основного состояния, имеют конечное время жизни  $\tau$  и, следовательно, некоторую ширину  $\Gamma$ , связанную с временем жизни и вероятностью перехода  $W$  в единицу времени простым соотношением:

$$\Gamma = \frac{\hbar}{\tau} = \hbar W. \quad (23,1)$$

Здесь мы отвлекаемся от процессов радиоактивного  $\beta$ - и  $\alpha$ -распада и деления (которые будут рассмотрены в главах V и VI). Эти процессы приводят к тому, что даже основное состояние многих ядер на самом деле не является строго стационарным, а обладает конечным временем жизни.

Если из данного возбужденного состояния возможен переход в основное состояние несколькими путями, то полная вероятность перехода  $W$  будет равна сумме вероятностей отдельных переходов  $W = \sum W_i$ . Соответственно этому можно говорить и о *парциальных ширинах*  $\Gamma_i$  уровня, относящихся к  $i$ -му типу перехода из данного возбужденного состояния в основное; при этом полная ширина уровня  $\Gamma$  будет равна сумме парциальных ширин.

Энергетический спектр возбужденных состояний ядра можно разделить на три области: а) стабильная область; б) резонансная область и в) область непрерывного спектра. К стабильной области возбужденных состояний по отношению к испусканию нуклонов относятся все возбужденные состояния ядра, энергия которых меньше минимальной энергии связи одного нуклона в ядре. При этом, как уже отмечалось выше, не учитывается возможная нестабильность ядра по отношению к  $\beta$ - и  $\alpha$ -распаду и делению. Переход в основное состояние из стабильной области возбужденных состояний происходит путем испускания  $\gamma$ -квантов. Ширина соответствующего уровня называется *радиационной шириной*  $\Gamma_\gamma$ .

К резонансной области возбужденных состояний относятся квазистационарные (виртуальные) возбужденные состояния с энергией, большей энергии связи одного нуклона. Такие виртуальные уровни проявляются в виде резонансов в сечениях ядерных реакций, если расстояния между уровнями превышают их ширину. Ширина виртуального уровня в этой области спектра возбужденных состояний является суммой парциальных ширин, соответствующих  $\gamma$ -излучению, испусканию нейтронов, испусканию протонов и т. д.

Наконец, к непрерывной области возбужденных состояний относятся возбужденные состояния с непрерывным спектром, где ширина уровня равна или больше расстояния между уровнями.

Возбужденные состояния ядер, принадлежащие к стабильной и резонансной областям спектра возбуждений, характеризуются определенными значениями спина, четности, а в случае легких ядер и изотопического спина.

Возбужденные состояния легких ядер в ряде случаев можно отождествить с изменением состояний отдельных нуклонов в ядре в рамках модели ядерных оболочек.

Оболочечная модель в этом случае позволяет определить основные характеристики таких уровней: спины, четность, магнитные моменты и т. д. Слив и Пекер [70] предложили подразделять схемы низко расположенных энергетических уровней нечетных ядер на три типа: а) «последовательная» система уровней; б) «дырочная» система уровней и в) смешанная система уровней.

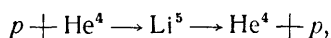
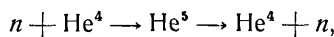
Система уровней относится к «последовательному» типу, если в основном состоянии наименее связанный нуклон находится на первом или втором уровне оболочки и возбуждения ядра соответствуют переходу такого нуклона на один из вышележащих уровней этой оболочки. В этом случае спин и четность возбужденного ядра определяются спином и четностью состояния этого нуклона. К такому типу относятся возбуждения  $\text{Li}^7$ ,  $\text{Be}^7$ ,  $\text{O}^{17}$ ,  $\text{K}^{41}$ ,  $\text{Se}^{46}$ ,  $\text{V}^{51}$ ,  $\text{Fe}^{57}$  и др.

Система уровней относится к «дырочной», если возбужденные состояния нечетного ядра относятся к переходу одного из нуклонов заполненной оболочки на уровень, на котором находится нечетный нуклон. Возбужденное состояние ядра в этом случае характеризуется спином и четностью «дыроки», оставшейся в заполненной оболочке после перехода нуклона. Такая система уровней наблюдается у  $\text{Fe}^{56}$ ,  $\text{Cu}^{65}$ ,  $\text{Zn}^{67}$ ,  $\text{Te}^{125}$ ,  $\text{Pb}^{207}$  и др.

Ядра с массовым числом, меньшим 6, не имеют возбужденных состояний, относящихся к стабильной области, т. е. состояний, из которых был бы возможен переход в основное состояние только путем излучения  $\gamma$ -кванта. Однако они имеют *виртуальные возбужденные состояния*, проявляющиеся в виде резонансов в ядерных реакциях и при рассеянии нуклонов (см. § 54).

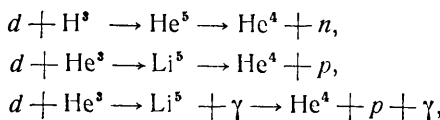
Как мы увидим в § 46, дейtron имеет виртуальный уровень  ${}^1S$ .  $\alpha$ -частица, по-видимому, обладает виртуальным возбужденным состоянием с конфигурацией  $(1s_{1/2})^8(1p_{1/2})^1$ , соответствующей энергии возбуждения  $\sim 22$  Мэв. Это виртуальное состояние проявляется в наличии резонанса при рассеянии протонов на тритии. Представление о возбужденных уровнях в этих случаях имеет условный смысл, так как дейtron из состояния  ${}^1S$  распадается на протон и нейтрон, а  $\alpha$ -частица, переходя в состояние  $(1s_{1/2})^8$ ,  $(1p_{1/2})^1$ , распадается на тритий и протон.

Ядра с массовым числом 5 (гелий и литий) не имеют даже стабильных нормальных состояний. Однако наличие резонансов в явлениях рассеяния:



указывает на возможность образования нестабильных ядер  $\text{He}^5$  и  $\text{Li}^5$ .

Наблюдаются также резонансные реакции:



которые подтверждают наличие нестабильных возбужденных состояний (соответствующих резонансной области) у этих элементов.

На рис. 16 приведена схема энергетических состояний четырех изотопов лития. Штриховыми линиями отмечены уровни с очень большой

16,8 ————— 3/2<sup>+</sup>

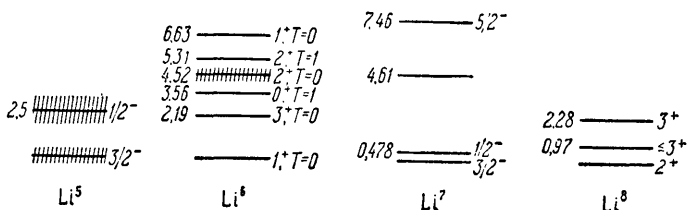


Рис. 16. Схема энергетических уровней изотопов лития. Энергия уровней выражена в МэВ.

шириною. Энергия уровней выражена в МэВ, указаны спины и четности уровней. Наиболее часто расположены уровни у Li<sup>6</sup>. На рисунке также отмечены и изотопические спины этих уровней. Уровень 2,19 МэВ имеет ширину  $\sim 30$  кэВ, а уровень 4,52 МэВ обладает шириной  $\sim 900$  кэВ. Уровень 7,46 МэВ у Li<sup>7</sup> проявляется [66] в реакции Li<sup>6</sup>(n,  $\alpha$ ) H<sup>3</sup>, ширина этого уровня  $\sim 100$  кэВ. Уровень 2,28 МэВ составного ядра Li<sup>8</sup> с шириной 32 кэВ наблюдается [71] в реакции Li<sup>7</sup>(n, n) Li<sup>7</sup>.

На рис. 17 приведена схема энергетических уровней некоторых легких ядер [72]. Эти возбужденные состояния соответствуют одиночественным возбуждениям (энергия выражена в МэВ). На рисунке указаны спины и четности соответствующих возбужденных состояний.

Возбужденные состояния средних и тяжелых ядер, близких к магнитическим, при малых энергиях возбуждения также могут быть классифицированы согласно оболочечной модели ядра. На рис. 18 приведена схема энергетических уровней дважды магнитического свинца (измерения Эллиот, опубликованные в работе [73]) и двух других изотопов свинца [74]. В ядре Pb<sup>209</sup> имеются один нейtron сверх 82 протонов и 126 нейтронов, составляющих заполненные оболочки. Уровни энергии Pb<sup>209</sup> относятся к последовательной системе уровней. В ядре Pb<sup>207</sup> не хватает

одного нейтрона до полного заполнения оболочки. Возбужденные уровни этого ядра относятся к дырочному типу.

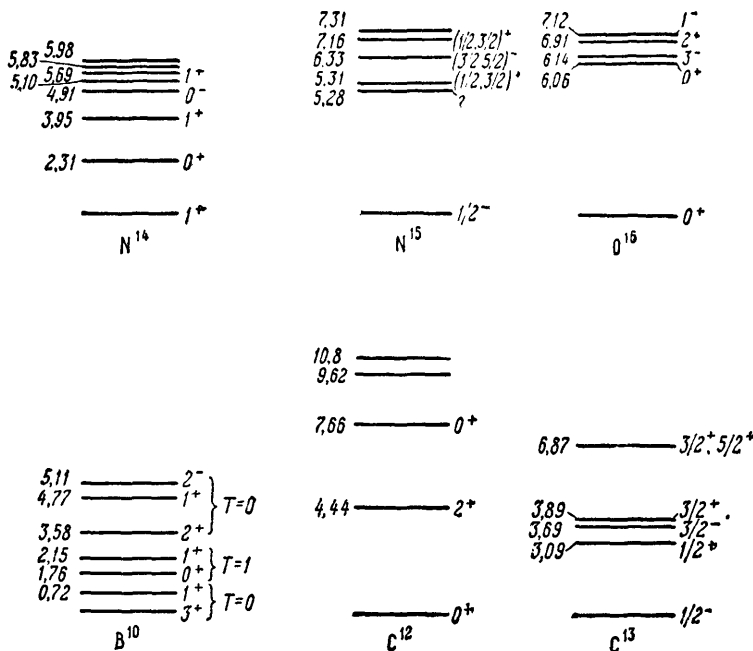


Рис. 17. Схема энергетических уровней некоторых легких ядер.

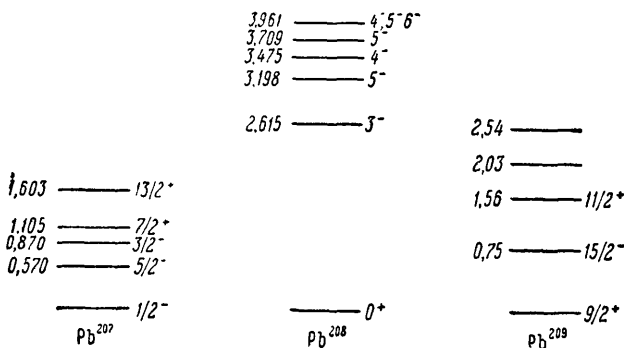


Рис. 18. Схема энергетических уровней изотопов свинца.

Ядра с заполненными оболочками характеризуются весьма высокими значениями возбуждения первого уровня по сравнению с соседними немагнитическими ядрами (см., например,  $Pb^{208}$ ,  $Pb^{209}$ ,  $Pb^{207}$ ). У ядер с

конфигурациями нуклонов, близкими к заполненным оболочкам, взаимодействие нуклонов, находящихся вне замкнутой оболочки, с этой оболочкой сравнительно мало и возбуждение можно рассматривать как изменение состояния одного нуклона (одночастичное возбуждение). Характерным признаком одночастичных возбуждений часто является значительное изменение спина при переходе в возбужденное состояние, а иногда и изменение четности. Такого рода возбужденные состояния приводят к возникновению долгоживущих изомеров, интерпретация которых дает хорошее подтверждение модели оболочек [75] (см. § 76).

У ядер с нуклонными конфигурациями, далекими от заполненных оболочек, из-за значительного взаимодействия внешних нуклонов с заполненными оболочками возникают существенные отклонения от сферической симметрии. Такие несферические ядра обладают двумя различными типами возбуждения. Первый тип возбуждения — изменение состояния отдельного нуклона, которое может сопровождаться изменением формы ядра. Такие возбуждения аналогичны электронным переходам в молекулах. Второй тип возбуждения соответствует вращению ядра как целого, а иногда и колебаниям поверхности ядра. Разделение возбуждений на два указанных выше типа: одночастичные возбуждения и возбуждения коллективные (колебания и вращения), возможно только для ядер, обладающих большой несферичностью (см. § 20), когда энергия вращательных возбужденных состояний соответствует 40—200 кэв, а энергия одночастичных переходов 1—3 Мэв.

Свойства коллективных возбуждений и одночастичных возбуждений существенно различны. Уровни коллективных возбуждений одного типа обладают одинаковой четностью, и спины соседних состояний отличаются на две единицы для четно-четных ядер и на одну-две единицы для нечетных ядер (см., однако, § 19). При возбуждении отдельных нуклонов может изменяться четность и возможны, как мы уже видели, значительные изменения спина.

Наиболее четко разделение возбуждений на коллективные и одночастичные можно провести в случае несферических четно-четных ядер, поскольку у этих ядер энергия одночастичных возбуждений сравнительно велика. У ядер, мало отличающихся от сферических, энергия вращения делается сравнимой с энергией однонуклонного возбуждения. В этом случае разделение на одночастичное и коллективное возбуждения невозможно (см. § 20). Такой случай чаще наблюдается у ядер с нечетным массовым числом, где энергия одночастичного возбуждения порядка нескольких сотен кэв.

Энергия первого возбужденного уровня вообще уменьшается с ростом  $A$ , однако имеются значительные отклонения от этой тенденции особенно в области магических ядер. Если выразить энергию первого возбужденного уровня как функцию числа протонов и числа нейтронов, то энергетическая поверхность имеет резкие максимумы удважды магических ядер ( $\text{Ca}^{40}$  и  $\text{Pb}^{208}$ ), гребни вдоль магических чисел нейтронов и протонов и широкие долины между магическими числами.

На рис. 10 (стр. 73) изображена энергия первого возбужденного состояния четно-четных ядер как функция числа нейтронов; числа протонов указаны у точек, изображающих положение энергетического уровня.

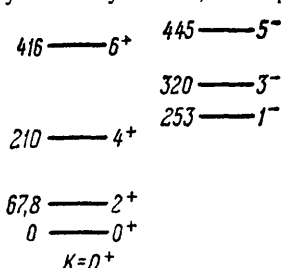


Рис. 19. Энергетическая схема уровней  $\text{Ra}^{226}$ . Энергия выражена в кэв.

Уровни возбуждения  $\text{Ra}^{226}$  соответствуют двум ротационным полосам: одна начинается с основного уровня, а вторая полоса соответствует уровням отрицательной четности. В таблице 13 приведены значения энергии возбуждения первого уровня вращательной полосы  $E(2^+)$  и уровня ( $E 1^-$ ) для некоторых четно-четных ядер.

Таблица 13. Энергия возбуждения первого уровня вращательной полосы  $E(2^+)$  и уровня  $E(1^-)$

Ядро	$E(2^+)$ , кэв	$E(1^-)$ , кэв
$\text{Ra}^{222}$	112	242
$\text{Ra}^{224}$	84	217
$\text{Ra}^{226}$	68	253
$\text{Th}^{226}$	73	232
$\text{Th}^{228}$	58	326
$\text{Pu}^{238}$	43	605

Из возбужденного состояния  $1^-$  происходит переход на уровни  $0^+$  и  $2^+$  с излучением электрических дипольных  $\gamma$ -квантов. На рис. 20 изображены первые энергетические уровни четно-четных ядер в зависимости от числа нейтронов в ядре. (Крестиками отмечены уровни спина  $1^-$ .) О. Бор высказал предположение, что указанные выше возбужденные состояния типа  $1^-$  соответствуют коллективным движениям нуклонов, при которых ядро теряет центр симметрии (ядро грушевидной формы).

В четно-четных ядрах коллективные движения с отрицательной четностью могут появляться в том случае, если возбуждаются октупольные колебания, при которых форма ядра определяется сферической функцией  $Y_{3m}(\theta, \varphi)$ . Возбуждения этого типа должны иметь

Особенно малыми энергиями возбуждения первого уровня характеризуются редкие земли и ядра в области конца периодической системы, где возбужденные состояния относятся к вращательной энергии.

В последнее время [76] у некоторых четно-четных ядер обнаружены низколежащие возбужденные состояния отрицательной четности  $1^-$ , а иногда состояния  $3^-$  и  $5^-$ . Примером энергетического спектра, содержащего такие возбужденные состояния, является изображенная на рис. 19 (см. [61]) энергетическая схема уровней ядра  $\text{Ra}^{226}$ , получающегося в результате  $\alpha$ -распада  $\text{Th}^{230}$ .

спин  $J=3$  и отрицательную четность. Уровни, соответствующие одновременному возбуждению квадрупольных и октупольных колебаний, будут иметь спин  $J=1^-, 2^-, \dots, 5^-$ . Если вследствие октупольных колебаний ядро теряет центр симметрии, то становятся возможными вращения с нечетными моментами количества движения ( $1^-, 3^-, \dots$ ). Состояния с нечетными моментами смешены относительно состояний с четными моментами на величину, равную энергии октупольных колебаний.

### § 24.\* Вращательно-вibrационный спектр четно-четных ядер

Хорошо выраженные вращательные состояния наблюдаются только у ядер с массовыми числами  $A > 225$ ,  $150 < A < 185$  и  $A \sim 25$ . Для ряда других ядер, хотя первые возбужденные состояния можно отнести к коллективным возбуждениям, их последовательность не соответствует вращательным состояниям. Так, в работе Шарф-Гольдгабер и Венисер [77] была указана большая группа четно-четных ядер в области массовых чисел  $66 < A < 150$ , у которых первый возбужденный уровень имеет спин  $2^+$  и энергию возбуждения ( $E_1$ ) от 300 кэв и выше, а второй возбужденный уровень ( $E_2$ ) имеет спин  $2^+$ ,  $4^+$  или  $0^+$ . Отношение энергии второго возбужденного состояния к энергии первого для этих ядер находилось в интервале значений от 2 до 2,5. По-видимому, у таких ядер отклонение от сферической симметрии не очень велико и возбужденное состояние нельзя разделить на вращательное и колебательное.

Для исследования (см. работу А. С. Давыдова и Г. Ф. Филиппова [78]) таких возбужденных состояний четно-четных аксиально-симметричных ядер\*) будем исходить из классического выражения энергии коллективных движений ядра

$$E = \frac{B}{2} \dot{\beta}^2 + W_{\gamma_0}(\beta) + \frac{R^2}{6B\dot{\beta}^2}, \quad (24,1)$$

\*) Вращательно-вibrационный спектр нечетных ядер исследован в работе А. Давыдова и Б. Мурашкина (ЖЭТФ 34, 1619, 1958).

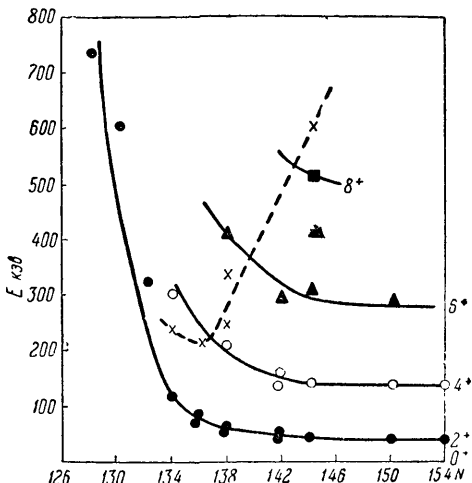


Рис. 20. Зависимость энергии первых возбужденных уровней четно-четных ядер от числа нейтронов в ядре.